

吊橋の鉛直および水平たわみにおける補剛  
トラス、横構トラスのせん断変形の影響

大阪大学工学部 正員 小松定夫  
大阪大学工学部 正員 ○西村宣男

1. まえがき 吊橋の立體解析法、比較計算において、いわゆる膜理論による数値と変形法による数値とは、著しい差が認められる。変形や部材力について検討して結果、二の差はおじれ変形に伴なうものよりも、吊橋の曲げ変形に伴なう力学量の含まれていること判明した。この原因としては、通常膜理論ではケーブルと補剛トラスの橋軸方向変位の差（ハンガーの傾斜）、ハンガーの伸縮などを無視してからこじりほかに、補剛トラスを曲げ部材に置換する際の斜材の伸縮の影響（軸としてのせん断変形）を省略している点にあると考えられる。本研究ではこれらの諸因子のうち補剛トラスのせん断変形を Melan の微分方程式に導入して、せん断変形の影響を調べた。また水平たわみについても Moisseiff の理論式に横構トラスのせん断変形を導入し、同様の考察を行なった。

2. 鉛直たわみの基礎方程式とその解法 せん断変形を考慮したばりのたわみに関する微分方程式は  $EI_x U'' = q_x + \frac{EI_x}{GA_y} q_y'' \dots (1)$ 。はり断面の形状係数を補剛トラスのせん断剛性  $GA_y$  を定式のように与えれば  $\kappa = 1$  と見てよい。補剛トラスは通常ワレン形式が用いられるから  $GA_y = EA_d \frac{h^2 \lambda}{d^3}$ 、また曲げ剛性は  $EI_x = EA_d h^2 / 2$ 。補剛トラスに作用する分布力  $q_y$  は、活荷重  $p_y$ 、吊構造自重  $m_s$  および吊材力  $S(z)$  である  $q_y = p_y + m_s - S(z) \dots (2)$  吊材力  $S(z)$  はケーブルにかける釣合条件より  $S(z) = -(H_d + H_p)(U'' + Y'') - M_c \dots (3)$ 。  $p_y, m_s$  およびケーブル重量  $M_c$  は等分布荷重とすると  $q_y = (H_d + H_p)U'' \dots (4)$ 。式(1)～式(4)より

$$EI_x \left(1 + \frac{H_d + H_p}{GA_y}\right) U'' - (H_d + H_p) U'' = p_y + H_p Y'' \dots (5)$$

$$\text{断面力は } M_x = -EI_x \left(1 + \frac{H_d + H_p}{GA_y}\right) U'' - \frac{EI_x}{GA_y} (p_y + H_p Y''), \quad Q_y = -EI_x \left(1 + \frac{H_d + H_p}{GA_y}\right) U'' \dots (6)$$

$$\text{境界条件 端支点 } U = 0, \quad M_x = -EI_x \left(1 + \frac{H_d + H_p}{GA_y}\right) U'' - \frac{EI_x}{GA_y} (p_y + H_p Y'') = 0$$

$$U = 0, \quad (U' - \frac{Q_y}{GA_y})_{\text{left}} = (U' - \frac{Q_y}{GA_y})_{\text{right}}$$

$$EI_x \left\{ \left(1 + \frac{H_d + H_p}{GA_y}\right) U'' + \frac{p_y + H_p Y''}{GA_y} \right\}_{\text{left}} = EI_x \left\{ \left(1 + \frac{H_d + H_p}{GA_y}\right) U'' + \frac{p_y + H_p Y''}{GA_y} \right\}_{\text{right}}$$

$$\text{式(5)の解は } M^2 = (H_d + H_p) / EI_x \left(1 + \frac{H_d + H_p}{GA_y}\right) \text{ とおいて}$$

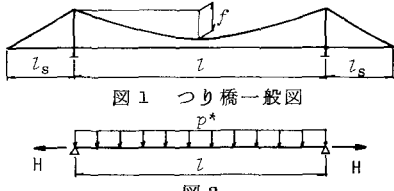
$$U = C_1 \sinh MZ + C_2 \cosh MZ + C_3 Z + C_4 - \frac{p_y + H_p Y''}{Z(H_d + H_p)} Z^2 \dots (7)$$

例えば図2のような荷重状態については

$$U = P^* \frac{l^2}{H} \left\{ \frac{1}{2} \left[ \frac{Z}{l} - \left( \frac{Z}{l} \right)^2 \right] - \frac{1}{2} \frac{GA_y}{GA_y + H} \left[ 1 - \frac{\cosh M(\frac{l}{2} - Z)}{\cosh M \frac{l}{2}} \right] \right\} \quad (8)$$

$$M_x = \frac{P^*}{M^2} \left[ 1 - \frac{GA_y}{GA_y + H} \frac{\cosh M(\frac{l}{2} - Z)}{\cosh M \frac{l}{2}} - \frac{H}{GA_y + H} \right]$$

$$Q_y = \frac{P^*}{M} \frac{GA_y}{GA_y + H} \frac{\sinh M(\frac{l}{2} - Z)}{\cosh M \frac{l}{2}}$$



3. 水平たわみの基礎方程式と解法 ケーブルにかける橋軸直角水平方向の釣合より

$$-H_d U'' - \frac{m_s}{l} (U_s - U_c) = p_c \dots (9)$$

ここで  $q_x = p_s - \frac{2m_s}{l} (U_s - U_c)$ ,  $p_s, p_c$  はそれぞれ吊構造およびケーブルに作用する横荷重;  $l$  はハンガー長を表す。ハンガーの傾斜を有限三角級数で表わす Selberg の解法を適

$$\text{用する。 } \beta = (U_s - U_c) / \gamma = \sum_{n=1}^N a_n \sin \frac{n\pi z}{l} \dots \dots (11)$$

$$-H_d U_c'' = P_c + m_s \sum_{n=1}^N a_n \sin \frac{n\pi z}{l} \dots \dots (12)$$

$$EI_y U_s'' = P_s - 2m_s \sum_{n=1}^N a_n \sin \frac{n\pi z}{l} - 2 \frac{EI_y m_s}{GAx} \sum_{n=1}^N a_n \left( \frac{EI_y}{l} \right)^2 \sin \frac{n\pi z}{l} \dots \dots (13)$$

例えは、荷重を受ける2ヒンジ吊橋の解は

$$U_c = \frac{P_s l^2}{2H_d l} \left( 1 - \frac{z}{l} \right) + \frac{m_s l^2}{H_d \pi^2} \sum_{n=1}^N \frac{a_n}{n^2} \sin \frac{n\pi z}{l} \dots \dots (14)$$

$$U_s = \frac{P_s l^4}{24EI_y} \left[ \left( \frac{z}{l} \right)^4 - 2 \left( \frac{z}{l} \right)^2 + \left( \frac{z}{l} \right) \right] + \frac{P_s l^2}{2GAx} \frac{z}{l} \left( 1 - \frac{z}{l} \right) - \frac{2m_s}{EI_y} \left( \frac{1}{\pi} \sum_{n=1}^N a_n \left( \frac{1}{n^2} + \frac{1}{n^3} \frac{EI_y l^2}{H_d l^2} \right) \right) \sin \frac{n\pi z}{l} \dots \dots (15)$$

式(14), (15)に含まれてある未知係数  $a_n$  はつぎの適合条件

式より N 元の連立方程式を解いて求めめる。

$$U_{si} - U_{ri} = l \cdot \sum_{n=1}^N a_n \sin \frac{n\pi z_i}{l} \quad (i=1, 2, \dots, N) \dots \dots (16)$$

連続吊橋についてはせん断変形を考慮した三連モーメント公式を用いて同様に解を求めることが可能である。純面の適合を省略する。

#### 4. せん断変形の影響

このせん断変形の影響をパラメーター解析により整理して、各種力学量の変化を、せん断変形を無視した場合を 100 として図 3 および図 4 に示した。一般に連続吊橋の中間支点における断面力に対するせん断変形の影響が著しい。

せん断変形を考慮すると、無視した場合に比べて変形およびケーブル張力は大きくなり、補剛トラス、横構トラスの断面力は小さくなる。さらに 2 つの

パラメータ  $\sqrt{\frac{H_d}{EI_y} l^2}$  に対してせん断変形の影響が比較的強く現われる力学量について、影響度を縦の正もののが図 5 へ

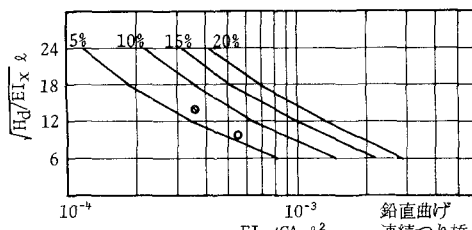


図 5 中間支点上曲げモーメントの減少量

である。図中の○印は本田連続橋、計画案の連続吊橋のパラメーター値である。

- 参考文献
- 1) Hawranek, A. und O. Steinhardt; Theorie und Berechnung der Stahlbrücken, 1958
  - 2) Selberg, A.; Berechnung des Verhaltens von Hängebrücken unter Windbelastung, Stahlbau, 1941

式(9) および(10) は

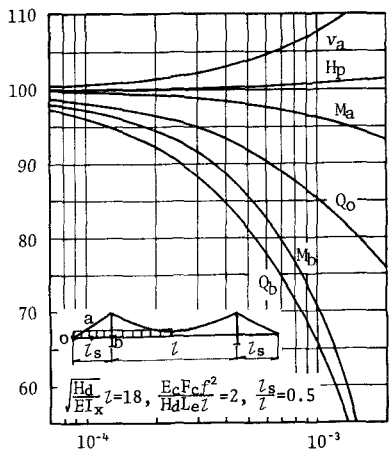


図 3 鉛直曲げにおけるせん断変形の影響

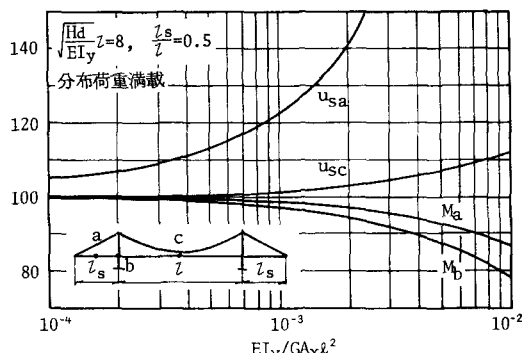


図 4 水平曲げにおけるせん断変形の影響(連続つり橋)

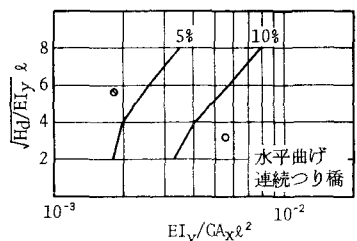


図 6 中央径間中央点のたわみ増加量

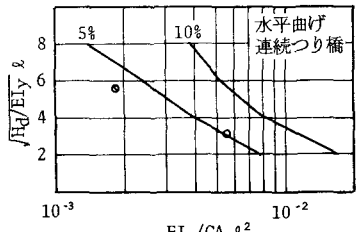


図 7 中間支点上曲げモーメントの減少量